

06.3

©1994

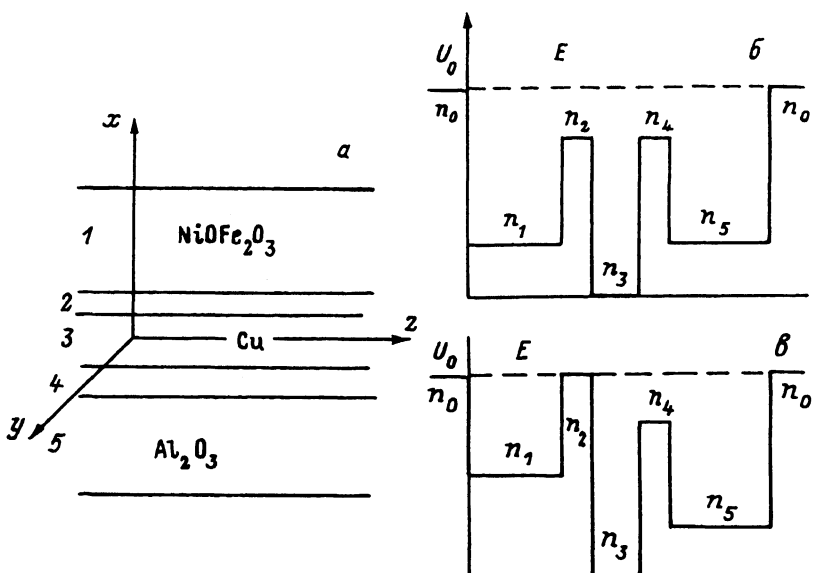
НОВЫЙ ТИП РЕЗОНАНСА, ИНДУЦИРОВАННОГО ДВУХСТОРОННИМ МАГНИТОДИЭЛЕКТРИЧЕСКИМ ПОКРЫТИЕМ МЕТАЛЛИЧЕСКОГО СЛОЯ

B.V.Гущин

Трехслойная система, состоящая из ферритового и диэлектрического слоев, разделенных неидеально проводящей плоскостью, обнаруживает несколько интересных явлений, связанных с распространением мод вдоль структуры [1].

Известная [2] аналогия между тонким диэлектрическим слоем и скин-слоем на границе проводника с большой, но конечной проводимостью, имеет общий характер — в обоих случаях поле существует в узком слое вблизи поверхности. Однако распространение несимметричной моды не может быть описано с помощью поверхностных волн Зоммерфельда или Губо-Хармса ввиду того, что в скин-слое толщиной δ и глубже поля неоднородны. Условия Леонтovichа в этом случае являются весьма приближенными, так как граничные условия с точностью до первой степени толщины слоев содержат не только составляющие поля, но и их производные.

Ввиду малого затухания особый интерес представляет первая (низшая) несимметричная мода (НМ), для которой к тому же отсутствует критическая частота. Ее поле содержит шесть коэффициентов, и дисперсионное уравнение получается приравниванием нулю детерминанта шестого порядка. В предлагаемой работе исследованы особенности взаимодействия электронных слоев с НМ ($\lambda_0 = 8.32$ мм) в системе $\text{NiOFe}_2\text{O}_3-\text{Cu}-\text{Al}_2\text{O}_3$ при малых ($H_{\perp} < 0.1H_{\text{рез}}$) полях подмагничивания. Установлено [3], что слабо затухающая НМ распространяется в проводнике Cu (вдоль z) при толщине слоя $\tau_c < K \frac{\lambda_0}{\sigma_c \mu_c}$ (σ_c и μ_c — проводимость и магнитная проницаемость Cu соответственно, $K = 10^{-2}$ — коэффициент, согласующий размерность). Такой слой является волноводом НМ с распределением компоненты F_z , по закону гиперболического синуса равной нулю в центре сечения. При возбуждении новых мод наибольший интерес и трудность представляет резонансный случай. Для этого на основе допустимых упрощений была построена модель перераспределения энергии полей мод в упомянутой выше



Структура слоев и изменение высоты потенциальных барьеров при уменьшении μ'_\perp магнитодиэлектрика.

трехслойной структуре. Путем выбора толщин слоев; проводника τ феррита τ_f и диэлектрика τ_d в данной задаче можно допустить существование в каждом слое только одной моды, если они лежат в пределах

$$0 < \tau_c < K \frac{\lambda_0}{\delta_e \mu_e}; \quad \frac{\lambda_f}{4} < \tau_f < \frac{\lambda_f}{2},$$

$$0 < \tau_d < \frac{\lambda_d}{4},$$

где λ_f и λ_d — длины волн в ферритовом и диэлектрическом слоях соответственно.

На рисунке, *a* представлена исследуемая структура. Можно выделить несколько областей, в которых расположены связанные электроны: в феррите — область 1, в металле — 3, диэлектрике — 5, квазиволнистые электроны — на границах 2 и 4. Последние две области представляют собой низкие потенциальные барьеры, которые могут преодолеваться поверхностью электронами соприкасающихся слоев. НМ возбуждает в областях 1 и 5 $TM_0 + TE_1$ и TM_0 моды соответственно, а в 2 и 4 — так называемые “барьерные моды”, существующие при практически нулевом зазоре. Границные условия связывают процессы в прилегающих слоях в единый колебательный процесс большого числа

частиц. Действие поля НМ на электрон в некоторой точке структуры зависит от значения поля не только в этой точке, но и в окружающих точках пространства. Диэлектрическая проницаемость и проводимость связывают электрическую индукцию и плотность тока с помощью общеизвестной комбинации [4] $\epsilon(\omega) = \epsilon_0(\omega) + \frac{4\pi\sigma(\omega)}{\omega}$, определяющей реакцию всех электронов (проводимости и ионного состава). Поле НМ проникает на полную специально выбранную толщину слоев, что учитывается введением понятия эффективности электрических и магнитных параметров сред, т.е. неявно учитываются конечные размеры и граничные условия. В нашем случае необходимо комбинированное одновременное наблюдение взаимодействия поля НМ с электронным полем и измерения фазовых скоростей мод в слоях, так как квантовые взаимодействия являются причиной их макроскопического проявления.

На рисунке, б, в представлены схемы потенциальных барьеров и соответствующие им показатели преломления n_1 , n_2 , n_3 , n_4 , n_5 , определяющие фазовые скорости в слоях, а n_0 — в свободном пространстве. При создании специальных граничных условий (условия резонанса) путем изменения поперечного поля подмагничивания H_{\perp} в касательной плоскости, структура становится подготовленной к эффекту резонансного взаимодействия электронного поля и поля НМ. Это вносит разрыв в, казалось бы, непрерывный процесс распространения НМ. Если относительные диэлектрические и магнитные проницаемости слоев 1 (ϵ'_f , μ'_{\perp}) и 5 (ϵ'_d , μ'_d) одинаковы, то $n_1 = n_5$ и $n_2 = n_4$ и энергия барьераных мод распределена поровну (рисунок, б). При уменьшении μ'_{\perp} потенциал слоев 1 и 2 увеличиваются, т.е. увеличиваются n_1 и n_2 ; при $n_2 = n_0$ наступает отсечка барьерающей моды в области 2 и вся энергия скачком перераспределяется в область 4. При этом $n_1 - n_5 = n_0 - n_4$. Макроскопически это соответствует совпадению разности фазовых скоростей в слоях 1, 5 $\pm (\vartheta_f - \vartheta_d)$ с разностью в области потенциального барьера и свободного пространства. Перераспределение энергии может происходить в слой 2 или 4 в зависимости от знака разности. Барьерающая мода довольно неустойчива и может сорваться при нарушении условий резонанса в сторону слоя с меньшим потенциальным барьером. Это происходит как при изменении электрических и магнитных параметров слоев, так и при изменении толщины проводящего слоя. Здесь просматривается тождество — макроскопическое состояние системы выражено через ее микрохарактеристики.

Проведенные исследования и приближенные расчеты позволили получить в конечном виде простое математическое

$$1 - \frac{\pi\delta}{\tau_c} = \frac{1}{\sqrt{\varepsilon'_f \mu'_\perp}} - \frac{1}{\sqrt{\varepsilon'_d}}.$$

Барьерные моды неадекватны ранее известным поверхностным и щелевым волнам. Учет резонанса необходим при разработке невзаимных интегральных схем [5], а ввиду малости H_\perp позволяет проводить их итерацию в квазиоптический диапазон волн.

Список литературы

- [1] Гущин В.В. // Письма в ЖТФ. 1992. Т. 18. В. 19. С. 60–62.
- [2] Каценеленбаум Б.З. // Высокочастотная электродинамика. М., 1966. 240 с.
- [3] Гущин В.В. // Тез. докл. 16 Всесоз. сем. "Гиромагнитная электроника и электродинамика". Куйбышев, 1990. С. 123.
- [4] Ашкрофт Н., Мермин Н. Физика твердого тела. Т. 1. М., 1979. 399 с.
- [5] Гущин В.В. Патент № 1804670. 1992.

Самарский государственный
технический университет

Поступило в Редакцию
25 марта 1994 г.